

日本国特許庁  
JAPAN PATENT OFFICE

29.11.2004

別紙添付の書類に記載されている事項は下記の出願書類に記載されて  
いる事項と同一であることを証明する。

This is to certify that the annexed is a true copy of the following application as filed  
with this Office.

出願年月日      2003年12月 1日  
Date of Application:

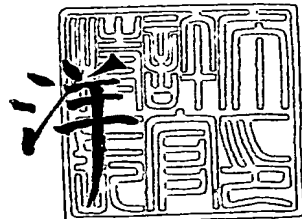
出願番号      特願2003-401585  
Application Number:  
[ST. 10/C] : [JP2003-401585]

出願人      財団法人神奈川科学技術アカデミー<sup>1</sup>  
Applicant(s):

2005年 1月13日

特許庁長官  
Commissioner,  
Japan Patent Office

小川



BEST AVAILABLE COPY

【書類名】 特許願  
【整理番号】 03880N  
【あて先】 特許庁長官殿  
【国際特許分類】 G01N 30/72  
【発明者】  
【住所又は居所】 神奈川県川崎市宮前区有馬3-5-5-508 鷺沼南ガーデン  
ハウス  
【氏名】 柳井 浩之  
【発明者】  
【住所又は居所】 東京都府中市分梅町5-35-14 エルデ103号  
【氏名】 中村 康司  
【発明者】  
【住所又は居所】 東京都練馬区立野町31-33  
【氏名】 宮島 篤  
【特許出願人】  
【識別番号】 591243103  
【氏名又は名称】 財団法人神奈川科学技術アカデミー  
【代理人】  
【識別番号】 100088546  
【弁理士】  
【氏名又は名称】 谷川 英次郎  
【電話番号】 03-3238-9182  
【先の出願に基づく優先権主張】  
【出願番号】 特願2003-399331  
【出願日】 平成15年11月28日  
【手数料の表示】  
【予納台帳番号】 053235  
【納付金額】 21,000円  
【提出物件の目録】  
【物件名】 特許請求の範囲 1  
【物件名】 明細書 1  
【物件名】 図面 1  
【物件名】 要約書 1

**【書類名】特許請求の範囲****【請求項 1】**

dlk遺伝子の発現を指標とする、試料中の肝癌細胞の検出方法。

**【請求項 2】**

細胞表面上に発現するdlkを測定することを含む請求項1記載の方法。

**【請求項 3】**

細胞表面上に発現するdlkと、抗dlk抗体又はその抗原結合性断片との抗原抗体反応を利用する請求項2記載の方法。

**【請求項 4】**

前記抗dlk抗体が、モノクローナル抗体である請求項3記載の方法。

**【請求項 5】**

FACS又はMACSにより行なう請求項2ないし4のいずれか1項に記載の方法。

**【請求項 6】**

dlk遺伝子のmRNAを測定することにより行なう請求項1記載の方法。

**【請求項 7】**

mRNA又はそれに由来するcDNAを核酸増幅法により増幅することを含む請求項6記載の方法。

**【請求項 8】**

RT-PCRを行なうことを含む請求項7記載の方法。

**【請求項 9】**

前記肝癌細胞が、肝細胞癌細胞又は胆管細胞癌細胞である請求項1ないし8のいずれか1項に記載の方法。

**【請求項 10】**

前記肝癌細胞がヒト肝癌細胞である請求項1ないし9のいずれか1項に記載の方法。

**【請求項 11】**

前記肝癌細胞がヒト肝癌細胞であり、前記モノクローナル抗体が抗ヒトdlkモノクローナル抗体である請求項4記載の方法。

**【請求項 12】**

生体から採取された血液中に存在する、dlkの細胞外領域を測定することを含む肝癌の検出方法。

**【請求項 13】**

血液中に存在するdlkの細胞外領域と、抗dlk抗体又はその抗原結合性断片との抗原抗体反応を利用する請求項12記載の方法。

**【請求項 14】**

前記抗dlk抗体が、モノクローナル抗体である請求項13記載の方法。

**【請求項 15】**

前記血液がヒト血液であり、前記モノクローナル抗体が抗ヒトdlkモノクローナル抗体である請求項14記載の方法。

**【請求項 16】**

dlkの細胞外領域と抗原抗体反応する抗体又はその抗原結合性断片を含む、肝癌診断薬。

。

**【請求項 17】**

前記抗体が抗ヒトdlkモノクローナル抗体である請求項16記載の診断薬。

**【請求項 18】**

dlk遺伝子のmRNA又はcDNAとハイブリダイズし、dlk遺伝子のmRNA又はcDNAを測定するためのプライマー又はプローブとして利用できる核酸から成る、肝癌検出用核酸。

**【請求項 19】**

dlk遺伝子のmRNA又はcDNAの一部領域と相補的な塩基配列又は該塩基配列と90%以上の同一性を有する塩基配列であって15塩基以上のサイズの領域を含む請求項1

8 記載の核酸。

【請求項 20】

dlk遺伝子のmRNA又はcDNAの一部領域と相補的な塩基配列であって15塩基以上  
のサイズの領域を含む請求項19記載の核酸。

【書類名】明細書

## 【登録の名称】肝癌の検出方法及び肝癌診断薬

【技術分野】

[0001]

本発明は、肝癌の検出方法及び肝癌診断薬に関する。

【背景技術】

100021

肝細胞癌は世界中の癌腫の中で最も多いものの一つであり、東南アジア、中国、サハラ砂漠以南のアフリカでの発症が特に多い。また、日本での発症率・有病率も高い。日本における肝癌による死者は年間三万人以上にのぼっており、依然として増加傾向にある。肝癌のほとんどは肝細胞癌であり、その発生母地は肝炎ウイルス感染に起因する。しかしながら、ウイルス肝炎から肝硬変、肝細胞癌へと移行する癌化メカニズムは未だ不明である。それゆえ現在用いられている診断方法（超音波診断、CTによる画像診断、 $\alpha$ -フェトプロテイン（AFP）などの腫瘍マーカーを用いた血液診断）は、すでに形成された癌組織を対象にした方法であり、ある程度進行した癌を検出することはできても、非常に初期段階に癌細胞、もしくは前癌細胞の存在を検出するには至っていない。また、 AFPを腫瘍マーカーとする血液診断は、簡便であるが、肝癌に対する特異性は高いとは言えず、肝硬変、肝炎などでも高い値を示すことが知られている。

[0003]

【0003】一方、Dlk1/Pref-1はEGF様モチーフを持つ膜タンパク質で、その細胞外領域はNotch/Defa1ta/Serrateファミリーと相同性を示す。Dlk1/Pref-1は、GRP(gastrin releasing peptide)応答性の肺小細胞癌由来細胞株で発現する分子（非特許文献1）あるいは前脂肪細胞の分化を抑制する因子としてクローニングされた（非特許文献2）。その発現は、胎生期に複数の組織、臓器に見られるが、出生後はほとんどの組織で発現が見られなくなる（非特許文献2、3）。また、肺小細胞癌や1型神経線維腫症など、一部の癌組織でも発現が認められる（非特許文献4、5）。Dlk1/Pref-1の機能については前脂肪細胞の分化抑制以外に、最近造血への関与も示唆されている（非特許文献6）。しかし、発現パターンなどから未分化細胞における未分化状態維持機構に関与している可能性も示唆されている。我々は、以前シグナル配列を持った分子、すなわち細胞表面抗原や分泌性タンパク質をコードする遺伝子を、選択的に単離するシグナルトラップ法を用いて、マウス胎性14.5日の肝臓に高発現する遺伝子dlkを同定した。マウス肝臓の発生過程におけるDlkの発現は、胎生10日以前にすでに見られ、胎生16日付近までは強く発現しているが、出生前後にかけて急激に減少し、成熟肝臓では発現していなかった。さらに抗Dlkモノクローナル抗体を用いて、胎児肝臓より1ステップで肝幹細胞を高純度精製できることを見い出した（非特許文献7、特許文献1）。

[0 0 0 4]

0004】  
【非特許文献1】Laborda, J., et al (1993) *J. Biol. Chem.* 268(6):3817-20  
【非特許文献2】Smas, C.M., et al (1993) *Cell.* 73(4):725-34  
【非特許文献3】Floridon, C., et al (2000) *Differentiation* 66(1):49-59  
【非特許文献4】Harken, J.C., et al (1999) *Tumour Biol.* 20(5):256-62  
【非特許文献5】Jensen, C.H., et al (1999) *Br. J. Dermatol.* 140(6):1054-9  
【非特許文献6】Ohno, N., et al (2001) *Stem Cells* 19(1):71-9  
【非特許文献7】Tanimizu, N., et al (2003) *J. Cell Sci.* 116(Pt 9):1775-86  
【非特許文献8】Onishi, M., et al (1996) *Exp. Hematol.* 24;324-329  
【非特許文献9】Sell, S. (1993) *Int. J. Dev. Biol.* 37:189-201  
【非特許文献10】Jensen, C.H. et al (1994) *Eur. J. Biochem.* 225:83-92  
【非特許文献11】Kaneta, M. et al. (2000) *J. Immunol.* 164:256-264  
【特許文献1】国際公開公報W0 02/103033

【発明の開示】

### 【発明の請求】

**【0005】**

本発明の目的は、高い特異性をもって肝癌を検出することができる肝癌の検出方法及びそのための診断薬を提供することである。

**【課題を解決するための手段】****【0006】**

本願発明者らは、鋭意研究の結果、成体の肝癌細胞表面上にdlkが発現していることを見出し、このdlkを腫瘍マーカーとして肝癌細胞の検出が可能であることを実験的に確認した。さらに、細胞表面上に発現するdlkの細胞外領域と抗原抗体反応する抗ヒトdlkモノクローナル抗体の作出に成功した。さらに、この抗ヒトdlkモノクローナル抗体が、血液中に遊離されるdlkの細胞外であるFA1とも抗原抗体反応することを確認した。

**【0007】**

すなわち、本発明は、dlk遺伝子の発現を指標とする、試料中の肝癌細胞の検出方法を提供する。また、本発明は、生体から採取された血液中に存在する、dlkの細胞外領域と測定することを含む肝癌の検出方法を提供する。さらに、本発明は、dlkの細胞外領域と抗原抗体反応する抗体又はその抗原結合性断片を含む、肝癌診断薬を提供する。さらに、本発明は、dlk遺伝子のmRNA又はcDNAとハイブリダイズし、dlk遺伝子のmRNA又はcDNAを測定するためのプライマー又はプローブとして利用できる核酸から成る、肝癌検出用核酸を提供する。

**【発明の効果】****【0008】**

本願発明により、新規な肝癌マーカーを利用した、肝癌の検出方法が提供された。成体におけるdlkは、胎盤以外の臓器では検出されず、また、マウス急性肝障害モデルにおいても検出されないことから、本発明の方法により高い特異性で肝癌を検出することが可能である。さらに、dlkは、増殖性の高い胎児期の肝細胞や、成体における肝再生時に出現するオーバル細胞においても発現することから、増殖する肝癌細胞において発現している抗dlkモノクローナルと考えられるので、初期の肝癌を検出できると考えられる。また、抗dlkモノクローナル抗体を用いることにより、血液中に遊離した、dlkの細胞外領域であるFA1を検出することが可能であることから、dlkの細胞外領域を腫瘍マーカーとした血液検査により簡便に肝癌を検出することが可能である。

**【発明を実施するための最良の形態】****【0009】**

下記実施例に具体的に記載するように、本願発明者らは、dlkが成体において、高い特異性をもって肝癌細胞表面上に発現しており、細胞表面上のdlk抗原を腫瘍マーカーとして用いたり、dlk遺伝子のmRNAを測定することにより、肝癌細胞の検出が可能であることを見出した。本願発明は、この知見を基礎とするものである。なお、本明細書及び請求範囲において、「測定」には、検出、定量及び半定量が包含される。

**【0010】**

dlk自体は公知であり、dlkをコードするcDNAはクローニングされており、その塩基配列及びそれがコードするアミノ酸配列も公知である。例えば、ヒトdlkは、GenBank accession番号U15979およびNM\_003836等に示されている。ラットdlkは、GenBank accession番号AB046763およびD84336等に示されている。ウシのdlkは、GenBank accession番号U15979に示されるヒトdlkの9278に示されている。これらのうち、GenBank accession番号U15979に示されるヒトdlkのcDNA配列及びそれがコードするアミノ酸配列をそれぞれ配列表の配列番号1及び2に示す。また、GenBank accession番号NM\_003836に記載されている通り、dlk cDNAにはSNPを有する複数のバリエントが知られており、このようなバリエントもdlkに含まれることは言うまでもない。なお、配列番号2に示すヒトdlkのアミノ酸配列のうち、細胞外領域は、24aa～304aaの領域である。

**【0011】**

dlkは、肝癌細胞表面上に発現しているので、これを腫瘍マーカー抗原として利用することにより肝癌細胞を検出することができる。なお、肝癌細胞には、肝細胞癌細胞及び胆

管細胞癌細胞が含まれ、下記実施例において具体的に記載されるように、これらのいづれの表面にもdlkが発現していることが確認された。細胞表面上の腫瘍マーカー抗原を測定する方法自体は周知であり、該腫瘍マーカー抗原と抗原抗体反応する抗体との抗原抗体反応を利用した種々の方法により行うことができる。用いる抗体としては、高くて均一な特異性を有するモノクローナル抗体が好ましい。抗マウスdlkモノクローナル抗体は公知である（非特許文献11）。また、下記実施例に具体的に記載するように、本願発明者らは、抗ヒトdlkモノクローナル抗体の作出に成功した。すなわち、ヒトdlk cDNAを哺乳動物細胞用の発現ベクターに組み込み、この組換えベクターを細胞株に導入してdlkを細胞表面上に発現する細胞株を作出し、これを免疫原として用いて常法であるKohlerとMilsteinの方法により抗ヒトdlkモノクローナル抗体を產生するハイブリドーマを樹立することができる。あるいは、上記のように、dlkの細胞が領域のアミノ酸配列及びそれをコードするcDNA配列は公知であるので、dlkの細胞外領域又はその一部分は、遺伝子工学的手法又はペプチド合成法により容易に調製可能である。調製したdlkの細胞外領域又はその一部分をそのまま、又はキーホールリンペットヘモシアニン(KLH)やウシ血清アルブミン(BSA)等の担体に結合させたものを免疫原として用いる常法によても抗dlkモノクローナル抗体を作出することが可能である。また、抗体のFab断片や、 $F(ab')_2$ 断片のような抗原結合性を有する抗体断片を用いることも可能である。

#### 【0012】

細胞表面上に発現する抗原（本願発明の場合はdlk）に対する抗体又はその抗原結合性断片を用いた、該抗原を細胞表面上に発現する細胞の測定方法自体は周知であるので、抗dlk抗体を用いた周知の手法に基づき、試料中の肝癌細胞を測定することができる。測定方法としては、免疫染色、ELISA等のサンドイッチ法、ラテックス凝集法などの凝集法、競合法等を挙げることができ。これらはいずれも周知であり、用いる抗体さえ入手すれば常法により容易に行うことができる。さらに、本発明の肝癌細胞の検出を効率的に行なうことができる。マグネットイックセルソーター(MACS)又はフローサイトメーター、とりわけ蛍光活性化セルソーター(FACS)を用いる方法を挙げることができる。MACSは、細胞表面抗原に対する抗体を不動化した超微粒子磁性ビーズで細胞を標識し、これを強力磁場にセットしたカラムに通して目的の細胞を分離するシステムであり、回収率が高く高純度な細胞を得ることができ、大量の細胞も効率的に分離することができ、さらに細胞の機能や増殖能を保ったまま分離できるので、検出した肝癌細胞の性質をさらに調べる場合等に好ましい。また、FACSは、蛍光標識した抗体で細胞を標識し、ノズルから噴射された細胞流にレーザーを当て、発生する分散光と蛍光を分析して、各1個の細胞を含む水滴を荷電させ、高電界で分離する装置である。FACSもMACSと同様な理由により、本發明の方法に好ましい。MACS及びFACSはいずれもこの分野において周知であり、そのための装置が市販されているので、用いる抗体さえ入手すればこれらの市販品を用いて容易に行なうことができる。

#### 【0013】

細胞表面上のdlk抗原を検出する方法に供される試料としては、肝癌細胞を含んでいるかも知れない試料であり、通常、肝臓の生検試料である。生検試料は、組織切片（免疫染色の場合）でもよいし、肝臓組織をコラゲナーゼやトリプシン等のプロテアーゼで処理して得られる細胞浮遊液であってもよい。

#### 【0014】

一方、膜タンパク質であるDLKはその細胞外領域が切断され、FA1として知られる可溶性分子を生成することが明かとなっている（非特許文献10）。そして、下記実施例に記載したとおり、本願発明者らが作出した抗ヒトdlkモノクローナル抗体は、FA1とも抗原抗体反応をする。したがって、抗dlk抗体、好ましくは抗dlkモノクローナル抗体を用いて血液中のFA1を免疫測定することにより、血液試料（血清、血漿、全血等）を用い肝癌の診断を行なうことが可能である。免疫測定自体は、上記のような常法により容易に行なうことができる。

#### 【0015】

上記した抗原抗体反応を利用した細胞表面上のdlk抗原を測定する方法において、ヒトの細胞上のdlk抗原を測定する場合には、抗ヒトdlkモノクローナル抗体又はその抗原結合性断片を用いることが好ましいことは言うまでもない。

[0016]

【0016】 上記のように、抗dlk抗体、好ましくは抗dlkモノクローナル抗体は、肝癌の検出に用いることができるるので、肝癌診断薬としての用途を有する。

[0017]

【0017】  
また、細胞中の、dlk mRNAを測定することによっても、dlk遺伝子の発現を調べることができる。細胞中のmRNAの測定は、常法により行うことができる。すなわち、例えれば、下記実施例に記載の通り、ノーザンプロット法により行うこともできるし、逆転写PCR( RT-PCR)を行い、PCR産物を電気泳動することにより、さらに電気泳動バンドをPCR( RTD-PCR)法により行うことにより、鑄型となるcDNA量、ひいてはmRNA量を正確に定量することができる。あるいは、NASBA法等により、mRNAを直接増幅し、電気泳動さらには電気泳動後のノーザンプロットにより測定することも可能である。これらの場合自体は、いずれも常法であり、必要な試薬キット及び装置は市販されている。また、DlkのcDNA配列が公知があるので、これらの方法に必要なプローブやプライマーは容易に設計することができるし、下記実施例にも具体的にこれらの例が記載されている。したがって、DlkタンパクをコードするmRNAの測定は、当業者が容易に行っている。なお、DlkのmRNA(又はmRNAを鑄型として得られたcDNA)の検出や増幅に用いられるプローブやプライマーは、DlkのmRNA又はcDNAのいずれかの鎖に相補的な配列を有するものが好ましいが、プローブやプライマーのサイズの10%以下、好ましくは5%以下の塩基のミスマッチを有するものを用いることも可能である。このようなミスマッチを有するプライマーを用いることにより、増幅産物に所望の制限酵素部位を付与することができる。このような制限酵素部位は、増幅産物をベクターへ組み込む際に便利な場合がある。また、プローブやプライマーのサイズ(DlkのmRNA又はcDNAとハイブリダイズする領域のサイズ)は、特に限定されないが、常法と同様、15塩基以上、好ましくは20塩基以上であり、サイズの上限は特にないが、プライマーの場合には、通常、50塩基以下、好ましくは40塩基以下であり、プローブの場合には全長以下が適当である。なお、測定すべきDlkのmRNA又はcDNAの領域とハイブリダイズする上記核酸領域を含み、プライマー又はプローブとして利用可能であれば、核酸断片の一端に非相補的な配列が付加されていてもよい。このような付加的な配列は、タクヤ他の核酸との結合のために利用することが可能な場合がある。本発明は、DlkのmRNA又はcDNAとハイブリダイズする、これらのプローブ及びプライマーのような、肝臓検出用核酸をも提供する。

[0018]

以下、本発明を実施例に基づきより具体的に説明する。もっとも、本発明は下記実施例に限定されるものではない。

### 【実施例】

[0019]

## 1. 材料と方法

(1) ヒトdlk全長cDNAの単離と発現ベクターの構築  
 ヒトDlk(Genbank accession No. U15979)の遺伝子配列情報よりPCRプライマーを設計した。作成したプライマーの配列は以下の通りである。  
 フォワード側プライマー：5'-cgccgtccgcaccagaagccc-3'  
 リバース側プライマー：5'-aagcttgcattcttcgtcgccggcc-3'  
 この時、リバース側プライマーにはHindIIIによる制限酵素消化配列を付加した。これらのプライマーと胎生10週のヒト肝臓より調整した全RNA(TAKARA)から合成したcDNAを鋳型としてPCR反応を行った。その後、アガロースゲル電気泳動による展開、目的のバンドの抽出を行い、pCRIIベクター(Invitrogen)にクローニングした(pCRII-hdlk)。クローニング

グしたヒトDlkのcDNAはシークエンスにより確認した。

#### 【0020】

発現ベクターの構築にあたり、ヒトDlkのC末端にFlagタグを付加するため、まずpbluescript II SK(+)ベクター(STRATAGENE)のHindIII/SalI部位にFlagタグ配列をコードするオリゴヌクレオチド(配列：フォワード側5'-agcttgactacaaggacgacatgacaagttag-3'、リバース側5'-tcgactacttgtcatcgccgtcctgttagtca-3')を挿入した(pBS-Flag)。次にpCRII-hdlkからヒトdlk遺伝子を含むEcoRI/HindIII断片を切り出し、pBS-FlagベクターのEcoRI/HindIII部位に挿入した(pBS-hdlk-Flag)。さらにpBS-hdlk-FlagからEcoRI/SalI断片を切り出し、pcDNA3.1ベクター(Invitrogen)およびpMIGベクター8)のEcoRI/XbaI部位に挿入した(それぞれpcDNA-hdlk-Flag、pMIG-hdlk-Flag)。

ヒトFA1発現ベクターを構築するにあたり、以下のプライマーを設計し、合成した。

ヒトFA1発現ベクターを構築するにあたり、以下のプライマーを設計し、合成した。

フォワード側プライマー：5'-cgcgtccgcaaccagaagcccc-3'

リバース側プライマー：5'-ctcgagggtgcgtccggctgtgcaccggc-3'

この時リバース側プライマーにはXbaIによる制限酵素消化配列を付加した。これらのプライマーとヒトdlkのcDNAを錆型としてPCR反応を行い、得られたヒトFA1 cDNAをpCRIIベクター(Invitrogen)にクローニングした(pCRII-hFA1)。クローニングしたヒトFA1のcDNAはシークエンスにより確認した。

pCRII-hFA1からヒトFA1 cDNAを含むEcoRI/XbaI断片を切り出し、pcDNA4/Myc-Hisベクター(Invitrogen)のEcoRI/XbaI部位に挿入した(pcDNA4-hFA1)。この発現ベクターにはC末端側にMycタグ及びHisタグ配列が付加されており、ヒトFA1はMycタグ及びHisタグとの融合タンパク質として発現する。

#### 【0021】

##### (2) ヒト肝癌由来細胞株

ヒト肝癌由来細胞株は、JHH-6、HLF、JHH-5及びHuH-6であり、いずれも(財)ヒューマンサイエンス振興財団より分譲を受けた。

#### 【0022】

##### (3) 培養細胞への遺伝子導入

培養細胞への遺伝子導入は、LipofectAMINE-plus試薬(GIBCO BRL)を用い、添付のプロトコルに従い行った。

#### 【0023】

##### (4) RT-PCR

ヒト肝癌由来細胞株からTrizol試薬(ニッポンジーン)を用いてRNAを抽出した。First-strand cDNA synthesis kit(Amersham Pharmacia Biotech)を用いて抽出したRNAからcDNAを合成した後、PCR法によりヒトDlkの発現を解析した。使用したプライマーは以下の通りである。

フォワード側プライマー：5'-agagctcaacaagaaaaacc-3'

リバース側プライマー：5'-gcgtatagtaagctctgagg-3'

#### 【0024】

##### (5) ノーザンプロット解析

胎児組織全RNA(TAKARA)および細胞からTrizol試薬(ニッポンジーン)を用いて抽出した全RNA、各 $10\mu g$ をホルムアルデヒド変性ゲルにて電気泳動した。ナイロン膜に転写した後、DIGラベルしたcDNAプロープを用いてハイブリダイズした。プロープの検出は、CDP-starを基質とした化学発光により行った。

#### 【0025】

##### (6) 抗ヒトDlkモノクローナル抗体の作製

ヒトdlk遺伝子を組み込んだ、上記レトロウイルスベクター(pMIG-hdlk-Flag)をパッケージング細胞であるBOSC23細胞(Pear, W.S. et al. (1993) Proc. Natl. Acad. Sci. USA 90, 8392-8396)に導入し、ヒトdlk遺伝子を持つレトロウイルスを産生した。我々が以前、温度感受性SV40 large T antigenのトランスジェニックマウス(Yanai, N. et al. (1991) Exp. Cell Res. 197, 50-56)の胎児肝臓から樹立した細胞株7E2-Cに産生したレト

コウイルスを感染させ、恒常にヒトD1kを発現する細胞株7E2-C(hd1k)を得た。

100261

【0026】 さらに、HEK293細胞（入手先：東京大学分子細胞生物学研究所機能形成）に上記発現ベクターpcDNA-hd1k-Flagを導入し、抗生物質G418(geneticin, GIBCO BRL)による選択を行った後、ヒトDlkを安定して発現している細胞株HEK293(hd1k)を樹立した。

100271

【0027】 上記2種の細胞株をそれぞれ抗原としてラットを免疫し、常法により抗ヒトDlkモノクローナル抗体を産生するハイブリドーマクローン作製した。これらのクローンを、予め(7日前)2,6,10,14-テトラメチルペニタデカン(プリスタン)を投与されたBALB/cヌードマウスの腹腔内に $3 \times 10^6$ 個投与し、2週間後の腹水を採取した。さらに、この腹水からカプリル酸沈澱、プロテインGカラム精製を行うことで、各ハイブリドーマクローンが産生する抗ヒトDlkモノクローナル抗体を得た。

100281

#### (7) cell ELISA法

(7) cell ELISA法  
ゼラチンでコートした96穴培養プレート(Corning)に上記7E2-C(hd1k)株を $7.5 \times 10^3$  細胞 /ウェルで播種し、37℃で2日間培養した。氷冷PBSで洗浄後、4%パラホルムアルデヒド溶液で固定、0.2% TritonX-100(商品名)溶液で処理し、cell ELISA用プレートとした。以後、定法に従いELISA法を行った。

100291

### (8) 免疫組織染色法

(8) 免疫組織染色法  
ヒト正常組織、肝癌組織のパラフィン切片(Bio Chain, Hepatocellular carcinoma; catalog No.: T2235149-4, lot No.: A607070, Cholangiocellular carcinoma; catalog No.: T2235149-2, lot No.: A603549)は、脱パラフィン処理後、10mMクエン酸ナトリウム溶液中で10分間加熱処理し、抗ヒトDlkモノクローナル抗体を用いた染色に使用した。DAB(3,3'-ジアミノベンチジン)を基質として発色反応を行った後、対比染色としてヘマトキシリンによる核染色を行った。これらの操作はより具体的には次のようにして行なった。4%パラホルムアルデヒドによる固定及びパラフィン包埋された切片を、脱パラフィン処理後、10 mMクエン酸ナトリウム溶液中で10分間加熱処理した。次にメタノールに終濃度0.3%となるように過酸化水素水を加えた溶液によって、室温で20分間処理し内因性のペルオキシダーゼ活性を除いた。PBSで室温5分間の洗いを2回行い、ブロックエース試薬(大日本製薬株式会社)を用いて30分間ブロッキングを行い、組織中の非特異的結合部位を希釈した抗ヒトDlkモノクローナル抗体clone 1C1(終濃度0.25 μg/ml)を室温で1時間反応させ、PBSによる5倍に希釈したビオチン化抗ラットIgG抗体を室温で1時間反応させた。ABCコンプレックスを作成するための洗いを3回行った後、ABCキットの試薬を説明書通りに混ぜてABCコンプレックスを作成した。これを室温で30分反応させた。PBSで5分間3回の洗いの後、ペルオキシダーゼを活性化する。発色を確認した後、水で10分間洗い、マイヤー・ヘマトキシリン溶液(和光純薬)によって核を染色し、その後アルコールで脱水し、キシレンで透徹して、エンテランニュ(メルク・ジャパン株式会社)で封入した。

[0 0 3 0]

### (9) FACS解析

(9) FACS解析  
細胞はトリプシン処理によって培養皿より剥がし、細胞懸濁液（細胞密度 $5 \times 10^6$  cells/ml）を調製した。抗ヒトDlkモノクローナル抗体 $0.5 \mu g$ と細胞懸濁液 $100 \mu L$ を $4^\circ C$ 、30分間反応させた。PBSで洗浄後、ビオチン化抗ラットIgG(Vector) ( $0.5 \mu g$ )と反応 ( $4^\circ C$ 、30分)させ、再びPBSで洗浄した。ストレプトアビジン-FITC(Pharmingen)またはストレプトアビジン-PE(Pharmingen) ( $0.5 \mu g$ )と反応 ( $4^\circ C$ 、30分)させた後、FACSCalibur(BECTON DICKINSON)にて解析した。

100311

## (10) 抗ヒトdlkモノクローナル抗体によるヒトFA1の検出

ヒトFA1発現ベクターを7E2-C細胞に導入し、3日後の培養上清を検出試料とした。検出には、捕獲抗体としてclone 31C4、検出抗体としてビオチン化したclone 4C4を用いたサンドイッチELISA法を用いた。検出抗体のビオチン化はECL<sup>TM</sup> Protein Biotinylation Module(Amersham Bioscience)を用いて行った。

## 【0032】

## 2. 結果

## (1) ヒト正常肝臓におけるヒトDlkの発現

本願発明者らは、以前、マウスにおいてDlkが胎生肝細胞に高発現しており、成体肝細胞には発現が見られないこと、抗マウスDlkモノクローナル抗体とMACS(Magnetic beads cell sorting)を組み合わせて用いることで、胎児肝臓から肝細胞のみを高純度で回収することができるを見い出している(非特許文献7、特許文献1)。そこで、まずヒトにおいても同様な発現パターンを示すのか検討した。ヒト胎児肝臓全RNAサンプル(TAKARA)を用いてノーザンプロット解析を行った結果、妊娠6週目から12週目の胎児肝臓においてヒトDlkの発現が認められた(図1A)。また妊娠12週目における各臓器でのヒトDlkの発現を調べた結果、肝臓以外に腎臓、骨格筋でも発現していた(図1B)。これに対し成体組織での発現は、以前の報告にあるように、胎盤以外では検出できなかった(図1C)(非特許文献1)。しかしながら最近の報告では、FA1が下垂体(Larsen, J.B. et al. (1996) Lancet. 347, 191)、副腎(Jensen, C.H. et al. (1993) Hum. Reprod. 8, 635-641)などにも発現していることが明らかにされている。このことから、ヒトでもマウスと同様に、肝臓でのDlkの発現は胎児で見られるものの、成体肝臓では発現していないことがわかった。

## 【0033】

## (2) 抗ヒトDlkモノクローナル抗体

上記の結果を更に確認するため、本願発明者らはまず、抗ヒトDlkモノクローナル抗体(ラットIgG)を作製した。抗原として2種類のヒトDlk発現細胞を樹立し、これを抗原としてラットを免疫した。ハイブリドーマを定法に従い調整し、その後、抗原として用いた7E2-C(hDlk)株を用いたFACS解析、およびcell ELISA法により陽性クローニングを選択した。さらにクローニングを行い、3種類(clone 1C1, 4C4, 31C4)の安定したクローニングを確立した。最終的に確立したクローニングの培養上清を用いてFACS解析を行った結果、確かにこれらの培養上清中にヒトDlkと特異的に反応するモノクローナル抗体が産生されていることが確認された。

## 【0034】

これらのクローニングを、予め(7日前)2,6,10,14-テトラメチルペンタデカン(プリスター)を投与されたBALB/cヌードマウスの腹腔内に3x10<sup>6</sup>個投与し、2週間後の腹水を採取した。さらに、この腹水からカブリル酸沈澱、プロテインGカラム精製を行うことで、各ハイブリドーマクローニングが産生する抗ヒトDlkモノクローナル抗体を得た。得られた精製モノクローナル抗体は、対応する各培養上清とFACS解析において同等の活性を示した。

## 【0035】

得られた抗ヒトDlkモノクローナル抗体clone 1C1を用いて、ヒト胎児組織の免疫組織染色を行った。ノーザンプロットの結果に一致して、肝臓、腎臓、骨格筋で染色像が見られた。また、胎盤組織でも同様に染色を行った結果、絨毛の合胞体性栄養細胞において強い染色が見られた。

## 【0036】

## (3) ヒト肝癌由来細胞株におけるヒトDlkの発現

ヒトDlkの発現は、マウスでの結果と同様、胎児の未熟な肝細胞では見られるが、成体の肝細胞では発現が認められない。本願発明者らは、ヒト肝癌におけるヒトDlkの発現の可能性を検討した。まず4種類のヒト肝癌由来細胞株(JHH-6, HLF, JHH-5, Huh-6)について、FACS解析、免疫染色およびRT-PCR法によって検討した。抗ヒトDlkモノクローナル抗体clone 4C4を用いてFACS解析を行った結果、未分化型の細胞株(JHH-6, HLF)ではシフトは認められなかったが、分化型の細胞株(JHH-5, Huh-6)ではヒトDlkの発現を示すシフト

が見られた(図2A)。また免疫染色法の結果も同様に、分化型の細胞株では染色像が確認された(図2B)。

### 【0037】

次にRT-PCR法による解析を行った。それぞれの細胞株から抽出した全RNAからcDNAを合成し、これを錆型としてPCR反応を行った。その結果、FACS解析、免疫染色の結果と同様に、分化型の細胞株ではヒトDlkの発現が見られた。しかしながらRT-PCR法では、FACS解析、免疫染色では発現の見られなかった未分化型の細胞株でも、弱いながらヒトDlkの発現が認められた(図2C)。未分化型の細胞株における結果の相違は、ヒトDlkの検出感度の差であると考えられる。

### 【0038】

#### (4) ヒト肝癌組織におけるヒトDlkの発現

ヒト肝癌由来細胞株におけるヒトDlkの発現解析の結果は、ヒトDlkが肝癌組織においても発現している可能性を示唆している。そこでヒト肝癌組織でのヒトDlkの発現を、抗ヒトDlkモノクローナル抗体clone 1C1を用いて免疫組織染色法により検討した。その結果、肝細胞癌および胆管細胞癌の組織において癌部で強く染色されることが明かとなった(図3)。この時、癌部に隣接する正常組織では全く染色されなかった。このことはDlkが胎生肝細胞のみならず、成体肝細胞の癌化によっても発現することを示しており、肝癌における腫瘍マーカーになりうることが示唆された。

### 【0039】

なお、図2B、図3及び図4の原図はカラー写真であり、添付の図面(白黒グレースケール)では結果は明瞭ではないかもしれないが、原図では、上記結果が明瞭に示されている。

### 【0040】

#### (5) 抗ヒトDlkモノクローナル抗体によるヒトFA1の検出

Dlkは、その細胞外領域が切断され、FA1として知られる可溶性分子を産生することが明かとなっている。我々が作出した抗ヒトDlkモノクローナル抗体は、Dlkの細胞外領域を認識することから、この抗体を用いてヒトFA1を認識、検出できる可能性が考えられた。そこで、7E2-C細胞にヒトFA1を一過性に発現させた培養上清を用いてELISA法により検討した。その結果、確かにコントロールベクターを導入した培養上清ではシグナルが検出されないが、ヒトFA1を含む培養上清ではシグナルが検出されることが確認された(図4)。以上のことから我々の作出した抗ヒトDlkモノクローナル抗体は、ヒトFA1を検出できることが明かとなった。

#### 【図面の簡単な説明】

### 【0041】

【図1】ヒト胎児および成体組織におけるDlkの遺伝子発現を示すノーザンプロットの結果を示す写真であり、(A) 妊娠6週目から12週目の胎児肝臓におけるDlkの遺伝子発現、(B) 胎児組織におけるDlkの遺伝子発現、(C) 成体組織におけるDlkの遺伝子発現を示す。

【図2】ヒト肝癌由来細胞株におけるDlkの発現解析の結果を示す図であり、(A) FACS解析 (B) 免疫蛍光染色 (C) RT-PCR解析の結果を示す図である。

【図3】ヒト肝癌組織におけるDlkの発現を示す写真であり、(A) 肝細胞癌組織 (B) 胆管細胞癌組織についての結果を示す。

【図4】抗ヒトDlkモノクローナル抗体を用いたヒトFA1の検出を示す図であり、ELISA法により検出、確認した結果を示す。

## 【配列表】

## SEQUENCE LISTING

<110> KANAGAWA ACADEMY OF SCIENCE AND TECHNOLOGY

<120> Method for detecting of hepatic cancer and diagnostic drug for hepatic cancer

<130> 03880N

<160> 6

<170> PatentIn version 3.1

<210> 1

<211> 1553

<212> DNA

<213> Homo sapiens

<220>

<221> CDS

<222> (174)..(1322)

<223>

<400> 1

tctaaaggag gtggagagcg caccgcagcc cggtgcagcc cggtgcagcc ctggctttcc

60

cctcgctgctgccc cctttcgcgt ccgcaaccag aagcccagtg cggcgccagg

120

agccggaccc ggcgcgcac cgctcccgaa accgcgaccc cggccgcccc gag atg

176

Met

1

acc gcg acc gaa gcc ctc ctg cgc gtc ctc ttg ctc ctg ctg gct ttc  
Thr Ala Thr Glu Ala Leu Leu Arg Val Leu Leu Leu Leu Ala Phe

224

5

10

15

ggc cac agc acc tat ggg gct gaa tgc ttc ccg gcc tgc aac ccc caa  
Gly His Ser Thr Tyr Gly Ala Glu Cys Phe Pro Ala Cys Asn Pro Gln

272

20

25

30

aat gga ttc tgc gag gat gac aat gtt tgc agg tgc cag cct ggc tgg  
Asn Gly Phe Cys Glu Asp Asp Asn Val Cys Arg Cys Gln Pro Gly Trp

320

35

40

45

cag ggt ccc ctt tgt gac cag tgc gtg acc tct ccc ggc tgc ctt cac  
Gln Gly Pro Leu Cys Asp Gln Cys Val Thr Ser Pro Gly Cys Leu His

368

50

55

60

65

gga ctc tgt gga gaa ccc ggg cag tgc att tgc acc gac ggc tgg gac

416

出証特2004-3122179

Gly	Leu	Cys	Gly	Glu	Pro	Gly	Gln	Cys	Ile	Cys	Thr	Asp	Gly	Trp	Asp
				70				75				80			
ggg	gag	ctc	tgt	gat	aga	gat	gtt	cgg	gcc	tgc	tcc	tcg	gcc	ccc	tgt
Gly	Glu	Leu	Cys	Asp	Arg	Asp	Val	Arg	Ala	Cys	Ser	Ser	Ala	Pro	Cys
				85				90				95			
gcc	aac	aac	ggg	acc	tgc	gtg	agc	ctg	gac	ggt	ggc	ctc	tat	gaa	tgc
Ala	Asn	Asn	Gly	Thr	Cys	Val	Ser	Leu	Asp	Gly	Gly	Leu	Tyr	Glu	Cys
				100				105				110			
tcc	tgt	gcc	ccc	ggg	tac	tcg	gga	aag	gac	tgc	cag	aaa	aag	gac	ggg
Ser	Cys	Ala	Pro	Gly	Tyr	Ser	Gly	Lys	Asp	Cys	Gln	Lys	Lys	Asp	Gly
				115				120			125				
ccc	tgt	gtg	atc	aac	ggc	tcc	ccc	tgc	cag	cac	gga	ggc	acc	tgc	gtg
Pro	Cys	Val	Ile	Asn	Gly	Ser	Pro	Cys	Gln	His	Gly	Gly	Thr	Cys	Val
				130				135			140			145	
gat	gat	gag	ggc	cgg	gcc	tcc	cat	gcc	tcc	tgc	ctg	tgc	ccc	cct	ggc
Asp	Asp	Glu	Gly	Arg	Ala	Ser	His	Ala	Ser	Cys	Leu	Cys	Pro	Pro	Gly
				150				155			160				
ttc	tca	ggc	aat	ttc	tgc	gag	atc	gtg	gcc	aac	agc	tgc	acc	ccc	aac
Phe	Ser	Gly	Asn	Phe	Cys	Glu	Ile	Val	Ala	Asn	Ser	Cys	Thr	Pro	Asn
				165				170			175				
cca	tgc	gag	aac	gac	ggc	gtc	tgc	act	gac	att	ggg	ggc	gac	ttc	cgc
Pro	Cys	Glu	Asn	Asp	Gly	Val	Cys	Thr	Asp	Ile	Gly	Gly	Asp	Phe	Arg
				180				185			190				
tgc	cgg	tgc	cca	gcc	ggc	ttc	atc	gac	aag	acc	tgc	agc	cgc	ccg	gtg
Cys	Arg	Cys	Pro	Ala	Gly	Phe	Ile	Asp	Lys	Thr	Cys	Ser	Arg	Pro	Val
				195				200			205				
acc	aac	tgc	gcc	agc	agc	ccg	tgc	cag	aac	ggg	ggc	acc	tgc	ctg	cag
Thr	Asn	Cys	Ala	Ser	Ser	Pro	Cys	Gln	Asn	Gly	Gly	Thr	Cys	Leu	Gln
				210				215			220			225	
cac	acc	cag	gtg	agc	tac	gag	tgt	ctg	tgc	aag	ccc	gag	ttc	aca	ggt
His	Thr	Gln	Val	Ser	Tyr	Glu	Cys	Leu	Cys	Lys	Pro	Glu	Phe	Thr	Gly
				230				235			240				
ctc	acc	tgt	gtc	aag	aag	cgc	gcg	ctg	agc	ccc	cag	cag	gtc	acc	cgt
Leu	Thr	Cys	Val	Lys	Lys	Arg	Ala	Leu	Ser	Pro	Gln	Gln	Val	Thr	Arg
				245				250			255				
ctg	ccc	agc	ggc	tat	ggg	ctg	gcc	tac	cgc	ctg	acc	cct	ggg	gtg	cac
Leu	Pro	Ser	Gly	Tyr	Gly	Leu	Ala	Tyr	Arg	Leu	Thr	Pro	Gly	Val	His
				260				265			270				

gag ctg ccg gtg cag cag ccg gag cac cgc atc ctg aag gtg tcc atg Glu Leu Pro Val Gln Gln Pro Glu His Arg Ile Leu Lys Val Ser Met	275	280	285	1040
aaa gag ctc aac aag aaa acc cct ctc ctc acc gag ggc cag gcc atc Lys Glu Leu Asn Lys Lys Thr Pro Leu Leu Thr Glu Gly Gln Ala Ile	290	295	300	1088
tgc ttc acc atc ctg ggc gtg ctc acc agc ctg gtg gtg ctg ggc act Cys Phe Thr Ile Leu Gly Val Leu Thr Ser Leu Val Val Leu Gly Thr	310.	315	320	1136
gtg ggt atc gtc ttc ctc aac aag tgc gag acc tgg gtg tcc aac ctg Val Gly Ile Val Phe Leu Asn Lys Cys Glu Thr Trp Val Ser Asn Leu	325	330	335	1184
cgc tac aac cac atg ctg cgg aag aag aac ctg ctg ctt cag tac aac Arg Tyr Asn His Met Leu Arg Lys Lys Asn Leu Leu Leu Gln Tyr Asn	340	345	350	1232
agc ggg gag gac ctg gcc gtc aac atc atc ttc ccc gag aag atc gac Ser Gly Glu Asp Leu Ala Val Asn Ile Ile Phe Pro Glu Lys Ile Asp	355	360	365	1280
atg acc acc ttc agc aag gag gcc ggc gac gag gag atc taa Met Thr Thr Phe Ser Lys Glu Ala Gly Asp Glu Glu Ile	370	375	380	1322
gcagcggttcc cacagcccccc tcttagattct tggagttccg cagagcttac tatacgcggt				1382
ctgtccataat ctttgtggtg ttgcgttatct cttgtgtcaa atctggtgaa cgctacgctt				1442
acatatattg tctttgtgct gctgtgtgac aaacgcaatg caaaaacaat cctctttctc				1502
tctcttaatg catgatacacag aataataata agaatttcat cttaaatga g				1553

<210> 2  
<211> 382  
<212> PRT  
<213> *Homo sapiens*

<400> 2

Phe Gly His Ser Thr Tyr Gly Ala Glu Cys Phe Pro Ala Cys Asn Pro

特願 2003-401585

20

25

30

Gln Asn Gly Phe Cys Glu Asp Asp Asn Val Cys Arg Cys Gln Pro Gly  
 35 40 45

Trp Gln Gly Pro Leu Cys Asp Gln Cys Val Thr Ser Pro Gly Cys Leu  
 50 55 60

His Gly Leu Cys Gly Glu Pro Gly Gln Cys Ile Cys Thr Asp Gly Trp  
 65 70 75 80

Asp Gly Glu Leu Cys Asp Arg Asp Val Arg Ala Cys Ser Ser Ala Pro  
 85 90 95

Cys Ala Asn Asn Gly Thr Cys Val Ser Leu Asp Gly Gly Leu Tyr Glu  
 100 105 110

Cys Ser Cys Ala Pro Gly Tyr Ser Gly Lys Asp Cys Gln Lys Lys Asp  
 115 120 125

Gly Pro Cys Val Ile Asn Gly Ser Pro Cys Gln His Gly Gly Thr Cys  
 130 135 140

Val Asp Asp Glu Gly Arg Ala Ser His Ala Ser Cys Leu Cys Pro Pro  
 145 150 155 160

Gly Phe Ser Gly Asn Phe Cys Glu Ile Val Ala Asn Ser Cys Thr Pro  
 165 170 175

Asn Pro Cys Glu Asn Asp Gly Val Cys Thr Asp Ile Gly Gly Asp Phe  
 180 185 190

Arg Cys Arg Cys Pro Ala Gly Phe Ile Asp Lys Thr Cys Ser Arg Pro  
 195 200 205

Val Thr Asn Cys Ala Ser Ser Pro Cys Gln Asn Gly Gly Thr Cys Leu  
 210 215 220

特願2003-401585

Gln His Thr Gln Val Ser Tyr Glu Cys Leu Cys Lys Pro Glu Phe Thr  
 225 230 235 240

Gly Leu Thr Cys Val Lys Lys Arg Ala Leu Ser Pro Gln Gln Val Thr  
 245 250 255

Arg Leu Pro Ser Gly Tyr Gly Leu Ala Tyr Arg Leu Thr Pro Gly Val  
 260 265 270

His Glu Leu Pro Val Gln Gln Pro Glu His Arg Ile Leu Lys Val Ser  
 275 280 285

Met Lys Glu Leu Asn Lys Lys Thr Pro Leu Leu Thr Glu Gly Gln Ala  
 290 295 300

Ile Cys Phe Thr Ile Leu Gly Val Leu Thr Ser Leu Val Val Leu Gly  
 305 310 315 320

Thr Val Gly Ile Val Phe Leu Asn Lys Cys Glu Thr Trp Val Ser Asn  
 325 330 335

Leu Arg Tyr Asn His Met Leu Arg Lys Lys Asn Leu Leu Leu Gln Tyr  
 340 345 350

Asn Ser Gly Glu Asp Leu Ala Val Asn Ile Ile Phe Pro Glu Lys Ile  
 355 360 365

Asp Met Thr Thr Phe Ser Lys Glu Ala Gly Asp Glu Glu Ile  
 370 375 380

&lt;210&gt; 3

&lt;211&gt; 21

&lt;212&gt; DNA

&lt;213&gt; Homo sapiens

&lt;220&gt;

&lt;221&gt; misc\_feature

&lt;223&gt; synthetic oligoDNA primer used for amplification of human dlk cDN

A

出証特2004-3122179

<400> 3  
cgcgtccgca accagaagcc c

21

<210> 4  
<211> 25  
<212> DNA  
<213> Homo sapiens

<220>  
<221> misc\_feature  
<223> synthetic oligoDNA primer used for amplification of human dlk cDN  
A

<400> 4  
aagcttgate tcctcgatcgcc cgccc

25

<210> 5  
<211> 19  
<212> DNA  
<213> Homo sapiens

<220>  
<221> misc\_feature  
<223> synthetic oligoDNA primer used for amplification of human dlk cDN  
A

<400> 5  
agagctcaac aagaaaaacc

19

<210> 6  
<211> 20  
<212> DNA  
<213> Homo sapiens

<220>  
<221> misc\_feature  
<223> synthetic oligoDNA primer used for amplification of human dlk cDN  
A

<400> 6  
gcgtatagta agctctgagg

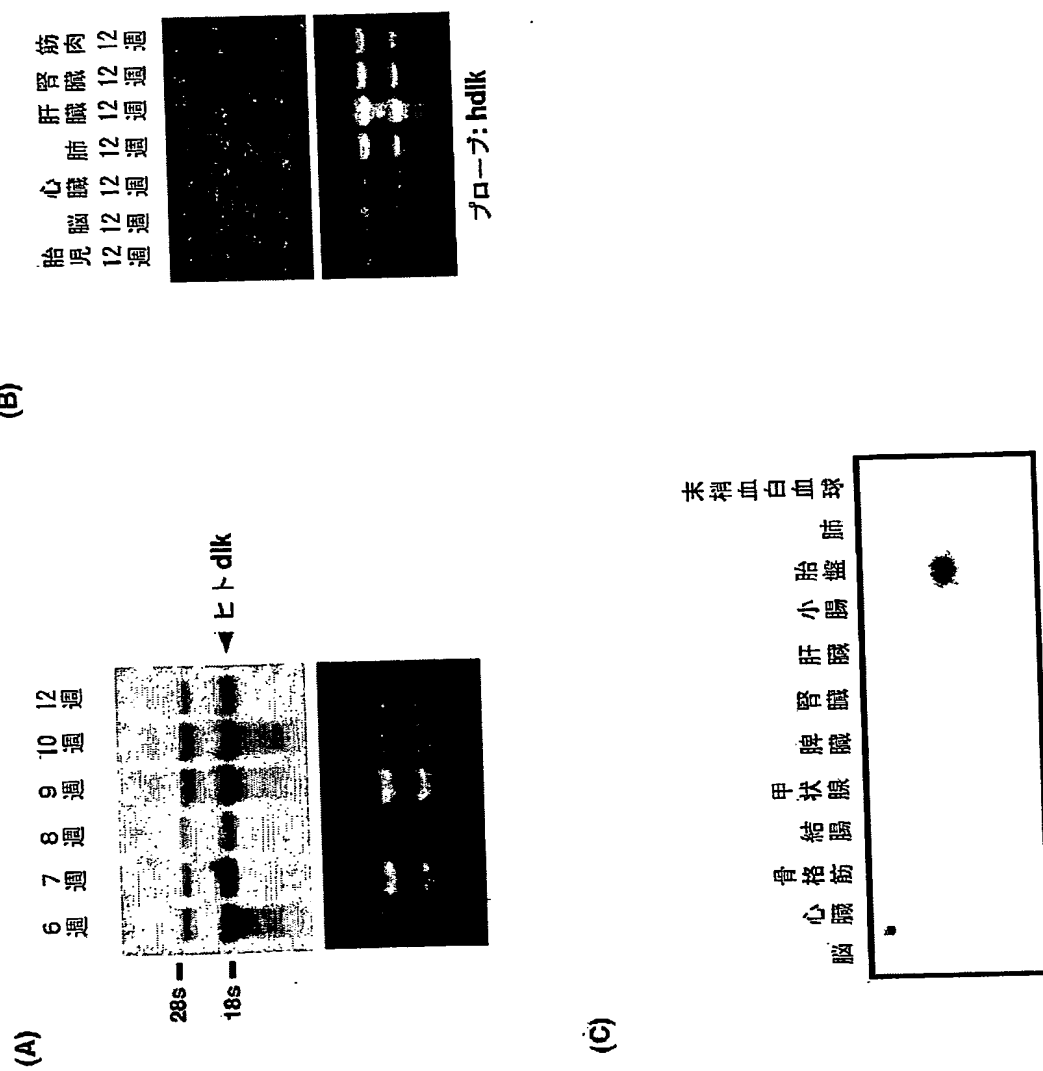
20

特願 2003-401585

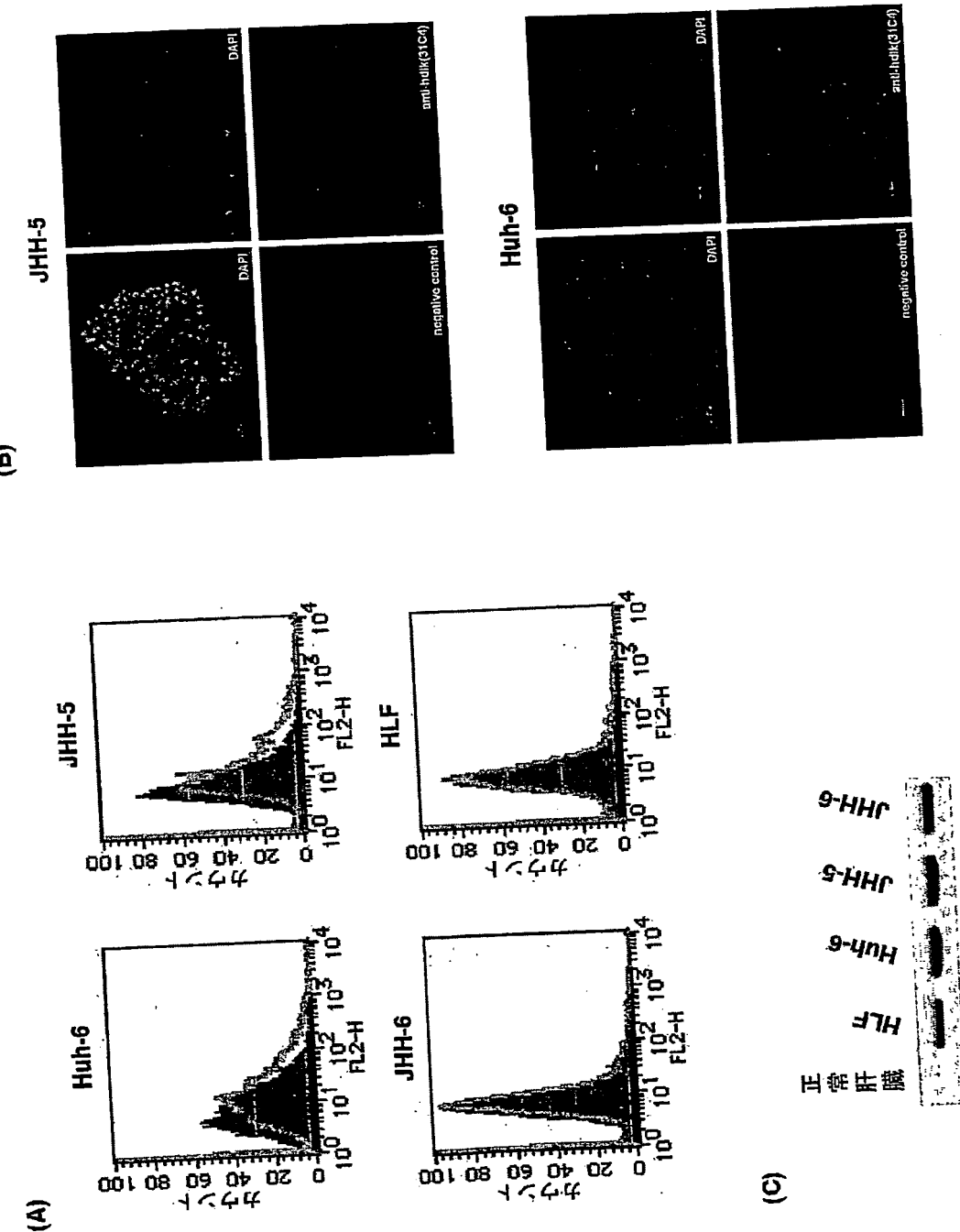
ページ： 7/E

出証特 2004-3122179

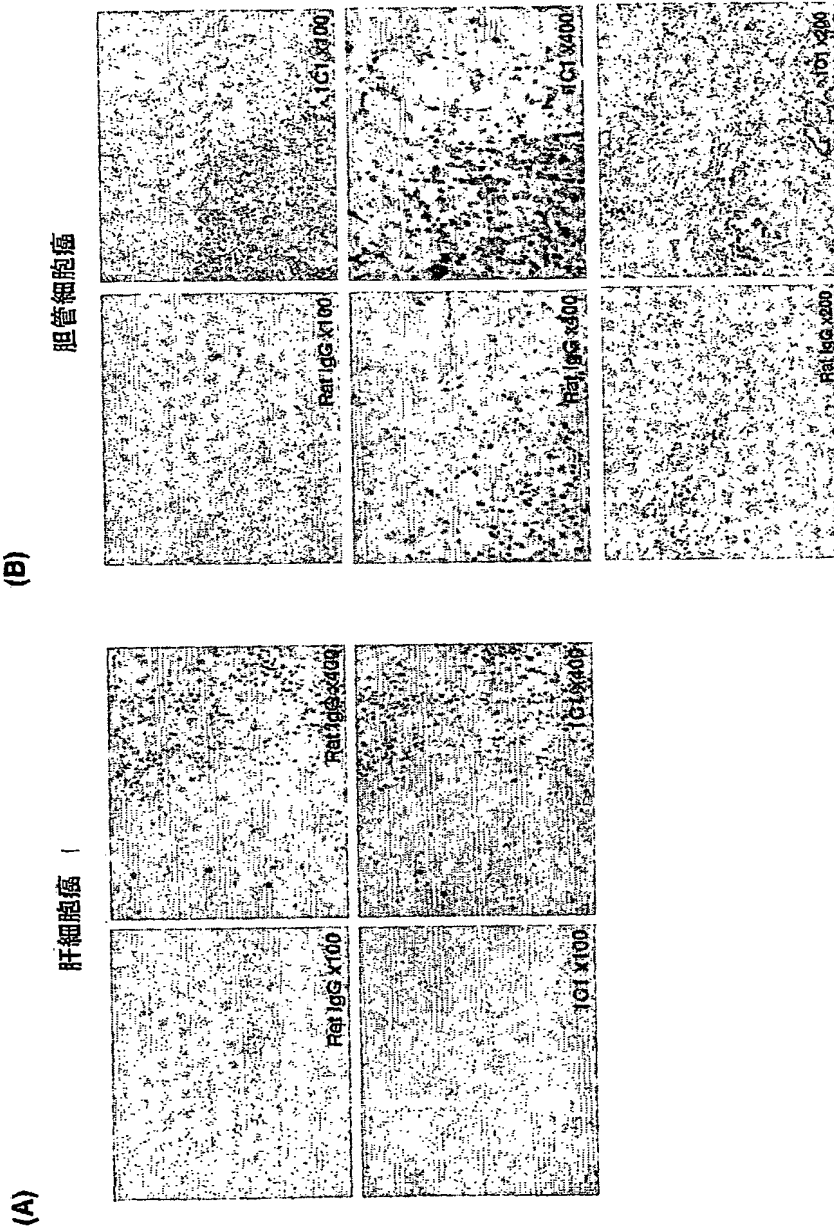
【書類名】 図面  
【図1】



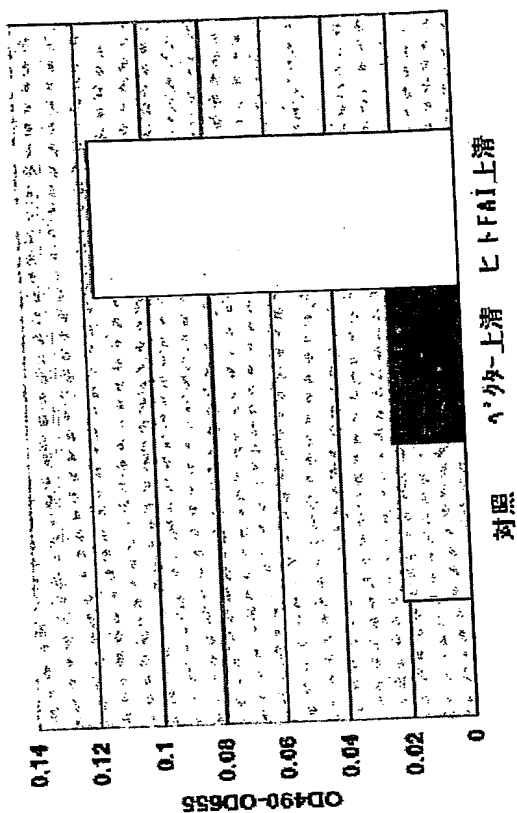
【図2】



【図3】



【図4】



【書類名】要約書

【要約】

【課題】 高い特異性をもって肝癌を検出することができる肝癌の検出方法及びそのための診断薬を提供すること。

【解決手段】 dlk遺伝子の発現を指標として、試料中の肝癌細胞を検出方法する。

【効果】 新規な肝癌マーカーを利用した、肝癌の検出方法が提供された。成体における

dlkは、胎盤以外の臓器では検出されず、また、マウス急性肝障害モデルにおいても検出されないことから、本発明の方法により高い特異性で肝癌を検出することが可能である。さらに、dlkは、増殖性の高い胎児期の肝細胞や、成体における肝再生時に出現するオーバル細胞においても発現することから、増殖する肝癌細胞において発現していると考えられるので、初期の肝癌を検出できると考えられる。

【選択図】 なし

## 認定・付加情報

特許出願の番号	特願2003-401585
受付番号	50301977500
書類名	特許願
担当官	小松 清 1905
作成日	平成16年 1月29日

## &lt;認定情報・付加情報&gt;

【提出日】	平成15年12月 1日
-------	-------------

特願 2003-401585

出願人履歴情報

識別番号

[591243103]

1. 変更年月日

1993年 5月17日

[変更理由]

住所変更  
神奈川県川崎市高津区坂戸3丁目2番1号  
財団法人神奈川科学技術アカデミー

住所  
氏名

# **Document made available under the Patent Cooperation Treaty (PCT)**

International application number: PCT/JP04/017499

International filing date: 25 November 2004 (25.11.2004)

Document type: Certified copy of priority document

Document details: Country/Office: JP  
Number: 2003-401585  
Filing date: 01 December 2003 (01.12.2003)

Date of receipt at the International Bureau: 27 January 2005 (27.01.2005)

Remark: Priority document submitted or transmitted to the International Bureau in compliance with Rule 17.1(a) or (b)



World Intellectual Property Organization (WIPO) - Geneva, Switzerland  
Organisation Mondiale de la Propriété Intellectuelle (OMPI) - Genève, Suisse

**This Page is Inserted by IFW Indexing and Scanning  
Operations and is not part of the Official Record**

**BEST AVAILABLE IMAGES**

Defective images within this document are accurate representations of the original documents submitted by the applicant.

Defects in the images include but are not limited to the items checked:

**BLACK BORDERS**

**IMAGE CUT OFF AT TOP, BOTTOM OR SIDES**

**FADED TEXT OR DRAWING**

**BLURRED OR ILLEGIBLE TEXT OR DRAWING**

**SKEWED/SLANTED IMAGES**

**COLOR OR BLACK AND WHITE PHOTOGRAPHS**

**GRAY SCALE DOCUMENTS**

**LINES OR MARKS ON ORIGINAL DOCUMENT**

**REFERENCE(S) OR EXHIBIT(S) SUBMITTED ARE POOR QUALITY**

**OTHER:** \_\_\_\_\_

**IMAGES ARE BEST AVAILABLE COPY.**

**As rescanning these documents will not correct the image problems checked, please do not report these problems to the IFW Image Problem Mailbox.**